

発生ガス、埋立地内部温度のモニタリング結果

測定地点：埋立地・第1区画(No.C20ガス抜き管)

項目	単位	調査年月日				分析方法	
		令和5年度 第4四半期 2月19日	令和6年度 第1四半期 5月8日	令和6年度 第2四半期 8月7日	令和6年度 第3四半期 11月6日		
発生ガス量	mL/min	10未満	10未満	10未満	10未満	石鹼膜流量計による	
ガス温度	℃	15.0	21.0	26.8	22.5	熱電対温度計による	
気温	℃	17.2	23.2	30.7	16.3	アスマン通風乾湿計による	
埋立地 内部温度 (深度)	℃	15.2 (-1.0 m)	21.0 (-1.0 m)	26.8 (-1.0 m)	22.5 (-1.0 m)	熱電対温度計による	
		15.0 (-2.0 m)	20.1 (-2.0 m)	26.2 (-2.0 m)	22.6 (-2.0 m)		
		14.9 (-3.0 m)	20.5 (-3.0 m)	26.0 (-3.0 m)	22.9 (-3.0 m)		
		14.9 (-4.0 m)	20.8 (-4.0 m)	25.8 (-4.0 m)	22.9 (-4.0 m)		
		14.9 (-5.0 m)	21.1 (-5.0 m)	25.7 (-5.0 m)	23.1 (-5.0 m)		
		14.8 (-6.0 m)	21.3 (-6.0 m)	25.7 (-6.0 m)	23.3 (-6.0 m)		
		14.8 (-7.0 m)	21.3 (-7.0 m)	24.9 (-7.0 m)	23.5 (-7.0 m)		
		14.8 (-8.0 m)	21.3 (-8.0 m)	24.7 (-8.0 m)	23.5 (-8.0 m)		
		14.8 (-9.0 m)	21.4 (-9.0 m)	24.7 (-9.0 m)	23.5 (-9.0 m)		
		14.8 (-10.0 m)	21.4 (-10.0 m)	24.7 (-10.0 m)	23.6 (-10.0 m)		
		14.7 (-11.0 m)	21.4 (-11.0 m)	24.7 (-11.0 m)	23.7 (-11.0 m)		
		14.7 (-12.0 m)	21.4 (-12.0 m)	24.7 (-12.0 m)	23.7 (-12.0 m)		
		14.7 (-13.0 m)	21.4 (-13.0 m)	24.7 (-13.0 m)	23.9 (-13.0 m)		
		14.7 (-14.0 m)	21.4 (-14.0 m)	24.3 (-14.0 m)	24.1 (-14.0 m)		
		14.8 (-15.0 m)	21.5 (-15.0 m)	23.9 (-15.0 m)	24.2 (-15.0 m)		
気圧	hPa	1017	997	998	1006	アネロイド式気圧計による	
メタン	%	0.1未満	0.1未満	0.1未満	0.1未満	ガスクロマトグラフ(TCD)法による	
二酸化炭素	%	0.1未満	0.1未満	0.3	0.3	ガスクロマトグラフ(TCD)法による	
アンモニア	ppm	0.2未満	0.2未満	0.2未満	0.2未満	検知管法による	
硫化水素	ppm	0.001未満	0.001未満	0.001未満	0.001未満	ガスクロマトグラフ(FPD)法による	
酸素	%	20.8	20.4	20.3	19.9	ガスクロマトグラフ(TCD)法による	



発生ガス、埋立地内部温度のモニタリング結果

測定地点：埋立地・第2区画(No.C29ガス抜き管)

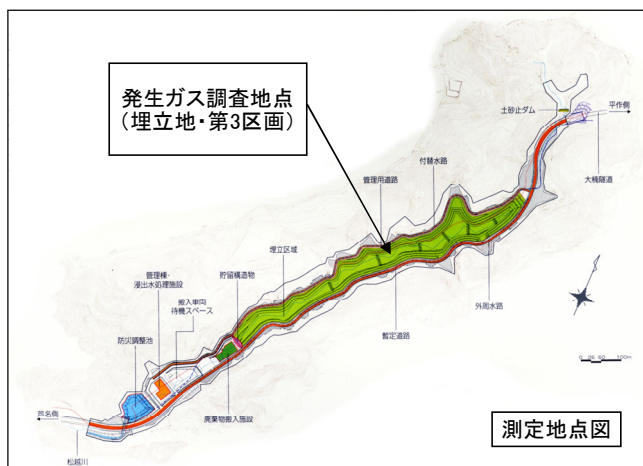
項目	単位	調査年月日				分析方法
		令和5年度 第4四半期 2月19日	令和6年度 第1四半期 5月8日	令和6年度 第2四半期 8月7日	令和6年度 第3四半期 11月6日	
発生ガス量	mL/min	10未満	10未満	10未満	10未満	石鹸膜流量計による
ガス温度	℃	16.5	23.7	28.6	20.3	熱電対温度計による
気温	℃	17.1	23.5	31.5	17.2	アスマン通風乾湿計による
埋立地 内部温度	℃	16.5	23.7	28.6	20.3	熱電対温度計による
		(-1.0 m)	(-1.0 m)	(-1.0 m)	(-1.0 m)	
		16.7	23.7	28.6	20.6	
		(-2.0 m)	(-2.0 m)	(-2.0 m)	(-2.0 m)	
		17.0	24.4	28.6	21.7	
		(-3.0 m)	(-3.0 m)	(-3.0 m)	(-3.0 m)	
		17.2	24.6	28.8	21.9	
		(-4.0 m)	(-4.0 m)	(-4.0 m)	(-4.0 m)	
		18.5	25.0	29.1	22.1	
		(-5.0 m)	(-5.0 m)	(-5.0 m)	(-5.0 m)	
		19.0	25.0	29.4	22.2	
		(-6.0 m)	(-6.0 m)	(-6.0 m)	(-6.0 m)	
		19.0	25.0	29.5	22.3	
		(-7.0 m)	(-7.0 m)	(-7.0 m)	(-7.0 m)	
		19.0	25.0	29.5	22.4	
		(-8.0 m)	(-8.0 m)	(-8.0 m)	(-8.0 m)	
		19.2	24.7	29.5	22.6	
		(-9.0 m)	(-9.0 m)	(-9.0 m)	(-9.0 m)	
		19.5	24.5	29.5	23.0	
		(-10.0 m)	(-10.0 m)	(-10.0 m)	(-10.0 m)	
19.8	24.4	29.4	23.2			
(-11.0 m)	(-11.0 m)	(-11.0 m)	(-11.0 m)			
20.0	24.3	29.3	23.3			
(-12.0 m)	(-12.0 m)	(-12.0 m)	(-12.0 m)			
20.2	24.3	29.2	23.4			
(-13.0 m)	(-13.0 m)	(-13.0 m)	(-13.0 m)			
20.3	24.1	29.2	23.5			
(-14.0 m)	(-14.0 m)	(-14.0 m)	(-14.0 m)			
20.5	23.8	28.8	23.8			
(-15.0 m)	(-15.0 m)	(-15.0 m)	(-15.0 m)			
20.4	23.8	28.8	23.9			
(-16.0 m)	(-16.0 m)	(-16.0 m)	(-16.0 m)			
20.3	23.8	28.6	23.9			
(-17.0 m)	(-17.0 m)	(-17.0 m)	(-17.0 m)			
(深度)						
気圧	hPa	1017	997	997	1006	アネロイド式気圧計による
メタン	%	0.1未満	0.1未満	0.1未満	0.1未満	ガスクロマトグラフ(TCD)法による
二酸化炭素	%	0.4	0.1	0.1未満	0.2	ガスクロマトグラフ(TCD)法による
アンモニア	ppm	0.2未満	0.2未満	0.2未満	0.2未満	検知管法による
硫化水素	ppm	0.001未満	0.001未満	0.001未満	0.001未満	ガスクロマトグラフ(FPD)法による
酸素	%	19.8	20.0	20.7	20.4	ガスクロマトグラフ(TCD)法による



発生ガス、埋立地内部温度のモニタリング結果

測定地点：埋立地・第3区画(No.C43ガス抜き管)

項目	単位	調査年月日				分析方法
		令和5年度 第4四半期 2月19日	令和6年度 第1四半期 5月8日	令和6年度 第2四半期 8月7日	令和6年度 第3四半期 11月6日	
発生ガス量	mL/min	10未満	10未満	10未満	10未満	石鹸膜流量計による
ガス温度	℃	34.9	38.0	35.6	37.0	熱電対温度計による
気温	℃	17.2	23.7	34.2	18.0	アスマン通風乾湿計による
埋立地 内部温度	℃	35.2 (-1.0 m)	38.1 (-1.0 m)	35.8 (-1.0 m)	37.2 (-1.0 m)	熱電対温度計による
		36.6 (-2.0 m)	38.3 (-2.0 m)	37.8 (-2.0 m)	39.3 (-2.0 m)	
		36.2 (-3.0 m)	38.6 (-3.0 m)	38.3 (-3.0 m)	40.2 (-3.0 m)	
		35.1 (-4.0 m)	38.6 (-4.0 m)	40.1 (-4.0 m)	40.9 (-4.0 m)	
		34.1 (-5.0 m)	38.7 (-5.0 m)	40.3 (-5.0 m)	41.2 (-5.0 m)	
		33.5 (-6.0 m)	38.3 (-6.0 m)	40.2 (-6.0 m)	41.2 (-6.0 m)	
		33.5 (-7.0 m)	38.3 (-7.0 m)	40.0 (-7.0 m)	41.2 (-7.0 m)	
		33.2 (-8.0 m)	38.3 (-8.0 m)	39.1 (-8.0 m)	42.0 (-8.0 m)	
		(深度)				
気圧	hPa	1015	997	997	1006	アネロイド式気圧計による
メタン	%	0.1未満	0.1未満	0.1未満	0.1未満	ガスクロマトグラフ(TCD)法による
二酸化炭素	%	1.4	1.4	2.6	2.8	ガスクロマトグラフ(TCD)法による
アンモニア	ppm	0.2未満	0.2未満	0.2未満	0.2未満	検知管法による
硫化水素	ppm	0.001未満	0.38	0.29	0.25	ガスクロマトグラフ(FPD)法による
酸素	%	17.5	17.9	15.3	16.6	ガスクロマトグラフ(TCD)法による



発生ガス、埋立地内部温度のモニタリング結果

測定地点：埋立地・第4区画(No.C51、C53ガス抜き管)

項目	単位	調査年月日				分析方法
		令和5年度 第4四半期	令和6年度 第1四半期	令和6年度 第2四半期	令和6年度 第3四半期	
		2月19日	5月8日	8月7日	11月6日	
発生ガス量	mL/min	10未満	10未満	10未満	10未満	石鹸膜流量計による
ガス温度	℃	25.1	30.7	34.9	27.3	熱電対温度計による
気温	℃	17.5	23.7	34.0	18.0	アスマン通風乾湿計による
埋立地 内部温度	℃	25.3	30.8	34.9	27.4	熱電対温度計による
		(-1.0 m)	(-1.0 m)	(-1.0 m)	(-1.0 m)	
		25.1	31.5	34.1	28.0	
		(-2.0 m)	(-2.0 m)	(-2.0 m)	(-2.0 m)	
		25.0	28.8	33.7	33.0	
		(-3.0 m)	(-3.0 m)	(-3.0 m)	(-3.0 m)	
		23.9	28.6	33.6	34.1	
		(-4.0 m)	(-4.0 m)	(-4.0 m)	(-4.0 m)	
		22.9	28.6	33.4	34.2	
		(-5.0 m)	(-5.0 m)	(-5.0 m)	(-5.0 m)	
		22.0	28.6	33.3	33.2	
		(-6.0 m)	(-6.0 m)	(-6.0 m)	(-6.0 m)	
		21.7	28.4	33.3	33.4	
		(-7.0 m)	(-7.0 m)	(-7.0 m)	(-7.0 m)	
		21.7	28.3	33.2	33.4	
		(-8.0 m)	(-8.0 m)	(-8.0 m)	(-8.0 m)	
		21.3	28.2		33.4	
		(-9.0 m)	(-9.0 m)		(-9.0 m)	
		20.9	28.1			
		(-10.0 m)	(-10.0 m)			
20.8	28.1					
(-11.0 m)	(-11.0 m)					
20.7	28.1					
(-12.0 m)	(-12.0 m)					
20.7	28.1					
(-13.0 m)	(-13.0 m)					
20.5	28.1					
(-14.0 m)	(-14.0 m)					
21.1	28.1					
(-15.0 m)	(-15.0 m)					
21.3	28.1					
(-16.0 m)	(-16.0 m)					
(深度)						
気圧	hPa	1015	997	996	1006	アネロイド式気圧計による
メタン	%	0.1未満	0.1未満	0.1未満	0.1未満	ガスクロマトグラフ(TCD)法による
二酸化炭素	%	0.3	0.7	0.6	0.6	ガスクロマトグラフ(TCD)法による
アンモニア	ppm	0.2未満	0.2未満	0.2未満	0.2未満	検知管法による
硫化水素	ppm	0.001	0.001未満	0.002	0.001未満	ガスクロマトグラフ(FPD)法による
酸素	%	20.2	19.3	19.4	19.6	ガスクロマトグラフ(TCD)法による



※No.C51ガス抜き管が延長され測定が不可能となったため、令和6年度第2四半期よりNo.C53ガス抜き管へ変更。

発生ガス、埋立地内部温度のモニタリング結果

測定地点：埋立地・第5区画(No.C57ガス抜き管)

項目	単位	調査年月日				分析方法
		令和5年度 第4四半期 2月19日	令和6年度 第1四半期 5月8日	令和6年度 第2四半期 8月7日	令和6年度 第3四半期 11月6日	
発生ガス量	mL/min	10未満	10未満	10未満	10未満	石鹸膜流量計による
ガス温度	℃	13.8	21.7	30.3	17.0	熱電対温度計による
気温	℃	17.5	23.7	34.2	18.0	アスマン通風乾湿計による
埋立地 内部温度	℃	13.8	21.7	30.3	17.0	熱電対温度計による
		(-1.0 m)	(-1.0 m)	(-1.0 m)	(-1.0 m)	
		14.1	22.3	30.3	16.0	
		(-2.0 m)	(-2.0 m)	(-2.0 m)	(-2.0 m)	
		14.4	22.4	30.5	15.5	
		(-3.0 m)	(-3.0 m)	(-3.0 m)	(-3.0 m)	
		14.7	22.4	30.6	15.4	
		(-4.0 m)	(-4.0 m)	(-4.0 m)	(-4.0 m)	
		15.2	22.6	30.8	16.0	
		(-5.0 m)	(-5.0 m)	(-5.0 m)	(-5.0 m)	
					16.1	
					(-6.0 m)	
					16.2	
					(-7.0 m)	
					16.3	
					(-8.0 m)	
					16.4	
			(-9.0 m)			
			16.4			
			(-10.0 m)			
(深度)						
気圧	hPa	1015	997	996	1006	アネロイド式気圧計による
メタン	%	0.1未満	0.1未満	0.1未満	0.1未満	ガスクロマトグラフ(TCD)法による
二酸化炭素	%	0.1未満	0.1未満	0.1未満	0.1未満	ガスクロマトグラフ(TCD)法による
アンモニア	ppm	0.2未満	0.2未満	0.2未満	0.2未満	検知管法による
硫化水素	ppm	0.001未満	0.001未満	0.001	0.001未満	ガスクロマトグラフ(FPD)法による
酸素	%	20.6	20.4	20.7	20.8	ガスクロマトグラフ(TCD)法による



発生ガス、埋立地内部温度のモニタリング結果

測定地点：埋立地・第6区画(No.C58ガス抜き管)

項目	単位	調査年月日				分析方法
		令和5年度 第4四半期 2月19日	令和6年度 第1四半期 5月8日	令和6年度 第2四半期 8月7日	令和6年度 第3四半期 11月6日	
発生ガス量	mL/min	10未満	10未満	10未満	10未満	石鹸膜流量計による
ガス温度	℃	12.7	19.4	28.7	19.1	熱電対温度計による
気温	℃	17.5	23.7	34.4	17.3	アスマン通風乾湿計による
埋立地 内部温度 (深度)	℃	12.7	19.4	28.7	19.1	熱電対温度計による
		(-1.0 m)	(-1.0 m)	(-1.0 m)	(-1.0 m)	
		14.0	19.4	26.9	20.1	
		(-2.0 m)	(-2.0 m)	(-2.0 m)	(-2.0 m)	
		14.4	19.3	26.9	20.5	
		(-3.0 m)	(-3.0 m)	(-3.0 m)	(-3.0 m)	
		14.5	19.3	27.2	21.0	
		(-4.0 m)	(-4.0 m)	(-4.0 m)	(-4.0 m)	
		15.0	19.1	26.6	21.0	
		(-5.0 m)	(-5.0 m)	(-5.0 m)	(-5.0 m)	
			18.6	26.3	21.2	
			(-6.0 m)	(-6.0 m)	(-6.0 m)	
				26.2	21.4	
				(-7.0 m)	(-7.0 m)	
				26.2	21.6	
		(-8.0 m)	(-8.0 m)			
気圧	hPa	1014	997	996	1006	アネロイド式気圧計による
メタン	%	0.1未満	0.1未満	0.1未満	0.1未満	ガスクロマトグラフ(TCD)法による
二酸化炭素	%	0.1未満	0.1未満	0.2	0.1未満	ガスクロマトグラフ(TCD)法による
アンモニア	ppm	0.2未満	0.2未満	0.2未満	0.2未満	検知管法による
硫化水素	ppm	0.001未満	0.001未満	0.003	0.001未満	ガスクロマトグラフ(FPD)法による
酸素	%	20.6	20.5	19.9	20.7	ガスクロマトグラフ(TCD)法による



発生ガス、埋立地内部温度のモニタリング結果

測定地点: 埋立地・第7区画(No.C62ガス抜き管)

項目	単位	調査年月日				分析方法
		令和5年度 第4四半期 2月19日	令和6年度 第1四半期 5月8日	令和6年度 第2四半期 8月7日	令和6年度 第3四半期 11月6日	
発生ガス量	mL/min	10未満	10未満	10未満	10未満	石鹸膜流量計による
ガス温度	℃	14.1	20.2	30.0	23.2	熱電対温度計による
気温	℃	17.5	23.7	34.4	17.4	アスマン通風乾湿計による
埋立地 内部温度	℃	14.1	20.2	30.0	23.2	熱電対温度計による
		(-1.0 m)	(-1.0 m)	(-1.0 m)	(-1.0 m)	
		14.1	20.0	27.3	23.1	
		(-2.0 m)	(-2.0 m)	(-2.0 m)	(-2.0 m)	
		14.2	20.0	27.0	22.8	
		(-3.0 m)	(-3.0 m)	(-3.0 m)	(-3.0 m)	
		14.1	19.1	26.7	22.6	
		(-4.0 m)	(-4.0 m)	(-4.0 m)	(-4.0 m)	
		14.0	18.3	26.5	22.2	
		(-5.0 m)	(-5.0 m)	(-5.0 m)	(-5.0 m)	
			18.3	23.9	22.2	
			(-6.0 m)	(-6.0 m)	(-6.0 m)	
			18.3	23.9	22.0	
			(-7.0 m)	(-7.0 m)	(-7.0 m)	
			18.5	23.8	21.5	
	(-8.0 m)	(-8.0 m)	(-8.0 m)			
	18.5	23.8	21.5			
	(-9.0 m)	(-9.0 m)	(-9.0 m)			
	18.5	23.8	21.5			
	(-10.0 m)	(-10.0 m)	(-10.0 m)			
	18.5	23.8	21.5			
	(-11.0 m)	(-11.0 m)	(-11.0 m)			
(深度)						
気圧	hPa	1014	996	996	1006	アネロイド式気圧計による
メタン	%	0.1未満	0.1未満	0.1未満	0.1未満	ガスクロマトグラフ(TCD)法による
二酸化炭素	%	0.1未満	0.2	0.3	0.1	ガスクロマトグラフ(TCD)法による
アンモニア	ppm	0.2未満	0.2未満	0.2未満	0.2未満	検知管法による
硫化水素	ppm	0.001未満	0.001未満	0.001未満	0.001未満	ガスクロマトグラフ(FPD)法による
酸素	%	20.5	19.7	18.6	20.5	ガスクロマトグラフ(TCD)法による

